

فعالیت الکتروکاتالیزوری بهبود یافته نانوذرات پلاتین استرانسیم کالت اکسید قرار داده شده بر روی گرافن اکسید کاوش یافته برای الکترواکسیداسیون متانول

مهری السادات اکرامی کاخکی^{*}^۱، ناهید فرزانه^۱، صدیقه عباسی^۱

^۱ مجتمع آموزش عالی فنی و مهندسی اسفراین، اسفراین، ایران.

تاریخ ثبت اولیه: ۱۳۹۷/۱۱/۲۲، تاریخ دریافت نسخه اصلاح شده: ۱۳۹۸/۰۵/۰۷، تاریخ پذیرش قطعی: ۱۳۹۸/۰۷/۰۷

چکیده در این مطالعه، گرافن اکسید با روش اصلاح شده هامر تهیه شد و به عنوان پستری برای پراکنده ساختن نانوذرات استفاده گردید. نانوذرات استرانسیم کالت اکسید تهیه و با روش پراش اشعه ایکس (XRD) شناسایی شدند. آنها به همراه نانوذرات پلاتین در بستر گرافن اکسید کاوش یافته برای تهیه کاتالیست پلاتین-استرانسیم کالت اکسید-گرافن اکسید یافته (Pt-SrCoO_{3-δ}-RGO) استفاده شدند. تصاویر میکروسکوپ الکترونی عبوری برای نشان دادن موفرلوزی و توزیع نانوذرات استفاده شدند. فعالیت کاتالیزوری کاتالیست تهیه شده برای الکترواکسیداسیون متانول با روش‌های ولتاومتری چرخه‌ای و طیف‌سنجه‌ی امپدانس الکتروشیمیابی بررسی گردید و با فعالیت کاتالیزوری کاتالیست پلاتین-گرافن اکسید کاوش یافته (Pt-RGO) مقایسه شد. اثرات برخی عوامل تحریبی موثر بر اکسایش متانول در سطح کاتالیست Pt-SrCoO_{3-δ}-RGO مانند غلظت متانول، دما و سرعت روش بررسی گردید و شرایط بهینه پیشنهاد شدند. کاتالیست Pt-SrCoO_{3-δ}-RGO فعالیت کاتالیزوری بهتری را برای اکسایش متانول نسبت به کاتالیست Pt-RGO از خود نشان داد که نشان می‌دهد RGO می‌تواند به عنوان کاتالیستی نویده‌بخش برای کاربرد در پل‌های سوختی متانولی مستقیم به کار رود.

کلمات کلیدی: گرافن اکسید، استرانسیم کالت اکسید، متانول، پل‌های سوختی.

Improved Electrocatalytic Activity of Pt-SrCoO_{3-δ} Nanoparticles Supported on Reduced Graphene Oxide for Methanol Electrooxidation

Mehri-Saddat Ekrami-Kakhki^{*}^۱, Nahid Farzaneh^۱, Sedigheh Abbasi^۱

^۱Esfarayen University of Technology, Esfarayen, Iran.

Abstract In this study, graphene oxide was prepared by a modified Hummers' method and used as support for dispersing of nanoparticles. SrCoO_{3-δ} nanoparticles were prepared and characterized by X-ray diffraction technique. They were used accompanied by Pt nanoparticles on the reduced graphene oxide (RGO) support for preparing of Pt-SrCoO_{3-δ}-RGO catalyst. Transmission electron microscopy images were used to show the morphology and distribution of nanoparticles. The catalytic activity of the prepared catalyst was investigated for methanol electrooxidation by cyclic voltammetry and electrochemical impedance spectroscopy techniques and compared with the catalytic activity of Pt-RGO catalyst. The effects of some experimental parameters affecting on methanol oxidation such as methanol concentration, temperature and scan rate were investigated on Pt-SrCoO_{3-δ}-RGO catalyst and the optimum conditions were suggested. Pt-SrCoO_{3-δ}-RGO catalyst showed better catalytic activity for methanol oxidation compared with Pt-RGO catalyst indicating that Pt-SrCoO_{3-δ}-RGO can be used as a promising catalyst for application in direct methanol fuel cells.

Keywords: Graphene oxide, SrCoO_{3-δ}, Methanol, Fuel cells.

* عهده دار مکاتبات

نشانی: خراسان شمالی، اسفراین، مجتمع آموزش عالی فنی و مهندسی اسفراین، تلفن: ۰۵۸-۳۷۲۶۶۵۳۱، ۰۵۸-۳۷۲۶۶۵۳۹، دورنگار:

پیام نگار: ekrami@esfarayen.ac.ir

۱- مقدمه

تشکیل کربن مونوکسید را کاهش می‌دهد. از این رو پروسکایت‌ها پتانسیل بسیار خوبی برای کاربرد در پیلهای سوختی متابولی مستقیم دارند [۱۵]. روش دیگری که برای بهبود فعالیت کاتالیزوری کاتالیست‌های پلاتین به کار می‌رود، استفاده از مواد بستر^۱ برای کاتالیست‌ها است. استفاده از بستر مناسب نقش مهمی را در اندازه ذرات، پایداری، فعالیت کاتالیزوری و توزیع نانوذرات فلزی ایفا می‌کند [۱۶ و ۱۷]. برای این منظور، بسترهای گوناگونی برای تهیه کاتالیست‌های پلاتین استفاده شده است. مواد کربنی گوناگونی مانند نانولوله‌های کربنی [۱۸]، نانوالیاف کربنی [۱۹] و گرافن [۲۰] به عنوان بستر برای کاتالیست‌ها در پیلهای سوختی استفاده شده‌اند. در سال‌های اخیر گرافن به دلیل ویژگی‌های الکترونی بسیار ویژه خود به عنوان بستر برای بهبود خواص کاتالیزوری استفاده شده است. یک روش تولید نانوورقهای گرافن، کاهش شیمیایی گرافن اکسید^۲ (GO) می‌باشد. گرافن اکسید کاهش یافته^۳ (RGO) به عنوان یک ماده بستر بسیار جالب توجه برای کاتالیست‌ها شناخته می‌شود. این امر به دلیل مساحت سطح ویژه بالا [۲۱]، هدایت الکترونی بسیار خوب و پایداری شیمیایی آن می‌باشد.

در این بررسی، نانوذرات استرانسیم کالت اکسید به طور موافقیت‌آمیز سنتز شد و نانوکامپوزیت پلاتین-استرانسیم کالت اکسید-گرافن اکسید کاهش یافته (Pt-SrCoO₃-RGO) تهیه گردید. فعالیت کاتالیزوری کاتالیست تهیه شده برای الکترواکسیداسیون متابول مورد ارزیابی قرار گرفت و با فعالیت کاتالیزوری پلاتین- گرافن اکسید کاهش یافته (Pt-RGO) مقایسه گردید. فعالیت کاتالیزوری کاتالیست‌های تهیه شده با روش‌های الکتروشیمیایی گوناگون مانند ولتاوری چرخه‌ای^۴ (CV) و طیف‌سننجی امپدانس الکتروشیمیایی^۵ (EIS) مورد بررسی قرار گرفت. نتایج نشان دادند استفاده از نانوذرات استرانسیم کالت اکسید به همراه پلاتین، فعالیت کاتالیزوری آن را به طور چشم‌گیری بهبود می‌بخشد و کاتالیست Pt-SrCoO₃-

امروزه، به دلیل بحران انرژی و مشکلات زیست‌محیطی ناشی از آلودگی سوخت‌های فسیلی، منابع انرژی پاک و تجدیدپذیر بسیار مورد نیاز هستند. پیلهای سوختی، سیستم‌های تبدیل انرژی هستند که می‌توانند به طور مستقیم، بدون آلودگی و با راندمان بالا انرژی الکتریکی را از انرژی شیمیایی تولید کنند [۱]. در میان تمام انواع پیلهای سوختی، پیلهای سوختی متابولی مستقیم توجه زیادی را به خود جلب نموده اند. این مسئله به دلیل چگالی انرژی بالاتر سوخت متابول مایع نسبت به سوخت‌های گازی مانند هیدروژن، دسترسی آسان به متابول به عنوان سوخت، ذخیره‌سازی و حمل و نقل آسان متابول، دمای عملکردی پایین، انتشار بسیار کم مواد آلاینده و آلودگی بسیار اندک حاصل از عملکرد پیلهای سادگی واکنش اکسایش متابول می‌باشد [۴-۲].

پلاتین (Pt) فعالیت کاتالیزوری بسیار خوبی برای اکسایش متابول دارد و به طور گسترشده برای بهبود واکنش اکسیداسیون متابول در پیلهای سوختی متابولی مستقیم مورد استفاده قرار گرفته است [۵ و ۶] ولی گران‌قیمت است و به آسانی با گونه‌های کربنی جذب شده مانند کربن مونوکسید که در فرآیند اکسایش متابول تولید می‌شود، مسموم می‌گردد [۷]. برای بهبود فعالیت کاتالیزوری کاتالیست‌های پلاتین و کاهش مسمومیت آنها، عناصر دیگری به پلاتین افزوده می‌شوند. استفاده از نانوآلیاژ‌های دو فلزی و فلزاتی مانند نیکل، کالت، آهن، کروم، طلا و پالادیم به همراه پلاتین، فعالیت کاتالیزوری آن را برای الکترواکسیداسیون متابول بهبود می‌بخشد [۸-۱۱ و ۱۲]. آلیاژ نمودن پلاتین با فلزات دیگر سبب کاهش اثر مسمومیت کربن مونوکسید می‌شود [۱۲]. نانوآلیاژ‌های پلاتین-روتینیم فعالیت کاتالیزوری بهتری را نسبت به پلاتین برای اکسایش متابول نشان می‌دهند ولی گران‌قیمت هستند و به دلیل سمیت برای کاربردهای صنعتی نامطلوب می‌باشند [۱۳]. کامپوزیت‌های Pt/ABO₃ گوناگونی با دارا بودن اتم روتینیم در مکان B سنتز شدند که فعالیت کاتالیزوری قابل مقایسه‌ای نسبت به آلیاژ‌های پلاتین-روتینیم داشتند [۱۴]. حضور یون‌های عناصر واسطه، فرآیند اکسایش متابول را بهبود می‌بخشد و با اکسایش کربن مونوکسیدهای تولید شده به کربن دی‌اکسید،

¹ Support

² Graphene oxide

³ Reduced graphene oxide

⁴ Cyclic voltammetry

⁵ Electrochemical impedance spectroscopy

آون در 100°C برای هشت ساعت خشک گردید. پودر خشک شده در کوره در 900°C برای چهار ساعت حرارت داده شد. سپس، استرانسیم کبالت اکسید تهیه و شناسایی گردید.

۲-۳ تهیه نانوکامپوزیت پلاتین- استرانسیم کبالت اکسید- گرافن اکسید کاوش یافته (Pt-SrCoO_{3- δ} -RGO)

برای تهیه نانوکامپوزیت، گرافن اکسید تهیه شده و دو میلی گرم نانوکاتالیست استرانسیم کبالت اکسید در ۲۰ میلی لیتر آب دوبار تقطیر پراکنده شدند. مخلوط برای یک ساعت اولتراسونیک شد و پس از افزایش ۲۵ میکرولیتر هگزاکلروپلاتینیک اسید M₁، برای یک ساعت هم زده شد. سپس ۵۰ میکرولیتر سدیم بوروهیدرات M₅ به مخلوط اضافه گردید و برای ۲۴ ساعت هم زده شد. مخلوط سانتریفیوژ شده و پس از شستشو در 60°C برای ۱۲ ساعت خشک گردید.

۲-۴ آماده سازی الکترود

بررسی های الکتروشیمیائی با استفاده از دستگاه پتانسیوستات- گالوانوستات اتوبل و با استفاده از یک سل سه الکترودی با الکترود کالومل به عنوان الکترود مرجع (SCE) و الکترودهای پلاتین و کربن شیشه ای (GC) به ترتیب به عنوان الکترودهای کمکی و کار انجام شدند. برای تهیه الکترود، پنج میکرولیتر مخلوط تهیه شده از پلاتین- استرانسیم کبالت اکسید- گرافن اکسید کاوش یافته در سطح الکترود کربن شیشه ای قرار داده شد و در دمای اتاق خشک گردید. الکترود اصلاح شده مورد نظر تهیه شد. مقدار پلاتین بارگذاری شده در سطح الکترود کار توسط طیف سنجی نشر نوری- پلاسمای مزدوج القابی (ICP-OES)^۱ تعیین گردید.

۳- نتایج و بحث

۳-۱ شناسایی نانوکامپوزیت

کاتالیست استرانسیم کبالت اکسید (SrCoO_{3- δ}) تهیه شده با روش پراش اشعه ایکس (XRD) شناسایی شد. شکل ۱a

RGO-ه فعالیت کاتالیزوری و پایداری بسیار خوبی را برای اکسیداسیون متانول از خود نشان می دهد.

۲- مواد و روش ها

سولفوریک اسید (۹۸٪)، آب اکسیژنه (۳۰٪)، هیدروکلریک اسید (۳۷٪)، پودر گرافیت (۹۹.۵٪)، نیتریک اسید و پتانسیم پرمنگنات (۹۹٪) از مرک خریداری و برای تهیه گرافن اکسید استفاده شدند. استرانسیم نیترات (۹۹٪)، کبالت کلرید شش آبه، اکتانوئیک اسید و سدیم هیدروکسید از مرک تهیه شدند و برای سنتز نانوکاتالیست استرانسیم کبالت اکسید مورد استفاده قرار گرفتند. هگزاکلروپلاتینیک اسید و سدیم بوروهیدرات از مرک خریداری و برای تهیه نانوذرات پلاتین استفاده شدند. متانول از مرک خریداری شد و اکسایش آن بررسی گردید.

۱-۲ تهیه گرافن اکسید (GO)

گرافن اکسید با روش اصلاح شده هامر تهیه شد [۲۲]. به طور خلاصه، مقادیر مناسب از سولفوریک اسید و نیتریک اسید (۳:۱) با ۲.۵ گرم پودر گرافیت مخلوط گردید. مخلوط برای ۲۴ ساعت به شدت هم زده شد، سپس سانتریفیوژ و خشک گردید. به پودر خشک در یک بشر، ۲۵ میلی لیتر استون اضافه شده و برای ۳۰ دقیقه اولتراسونیک شد. پس از خشک شدن، ۱۱۵ میلی لیتر سولفوریک اسید اضافه گردید و هم زده شد. حمام یخ تهیه گردید و ۱۵ گرم پتانسیم پرمنگنات بسیار به آرامی اضافه شد. پس از افزایش آب دوبار تقطیر، مخلوط با هیدروکلریک اسید ۵٪ سانتریفیوژ و با آب شستشو شد. مخلوط خشک و شناسایی گردید و به عنوان گرافن اکسید مورد استفاده قرار گرفت.

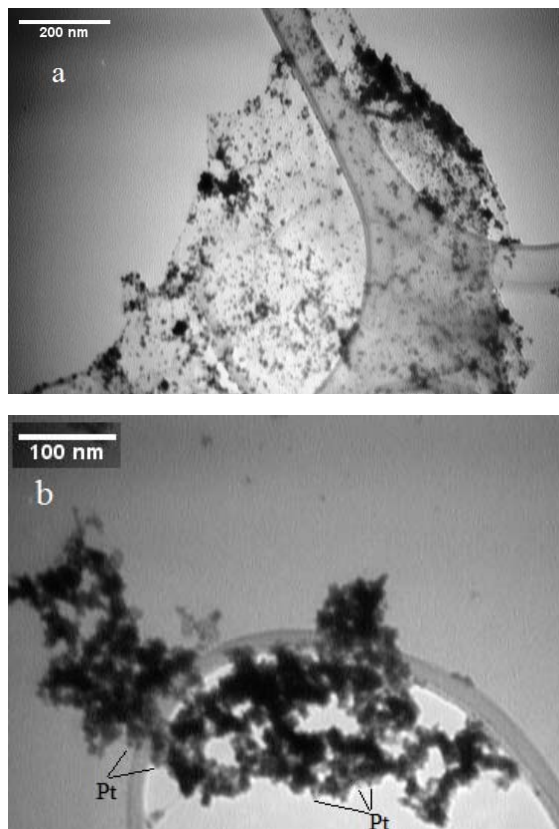
۲-۲ تهیه کاتالیست استرانسیم کبالت اکسید

برای تهیه کاتالیست استرانسیم کبالت اکسید، ۱۰ میلی لیتر کبالت اکسید M₁ با ۱۰ میلی لیتر استرانسیم نیترات M₁، مخلوط گردید. پس از افزایش دو میلی لیتر اکتانوئیک اسید و رساندن pH به هفت، مخلوط هم زده شد و در حمام آب در 80°C برای یک ساعت حرارت داده شد. مخلوط حاصل در

¹ Inductively coupled plasma optical emission spectroscopy

² X-ray diffraction

شود نانوذرات پلاتین و استرانسیم کالت اکسید، توزیع یکنواختی در گرافن اکسید کاهش یافته دارد.



شکل ۲. تصاویر TEM نانوکامپوزیت‌های (a) Pt-SrCoO_{3-δ} و (b) Pt-RGO

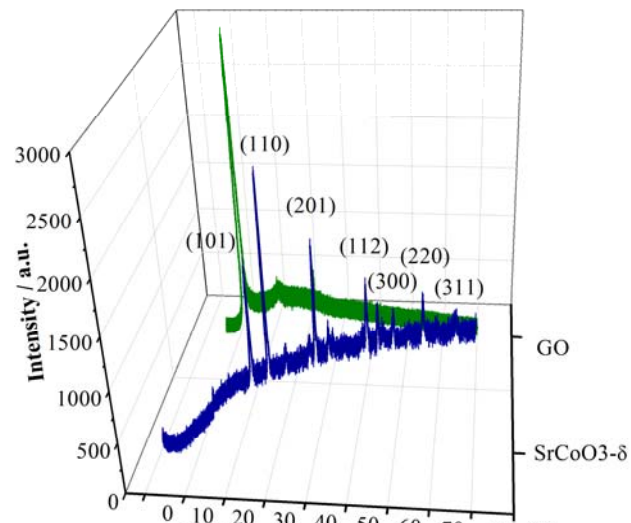
۳-۲ بررسی‌های الکتروکاتالیزوری
۱-۲-۳ سطح مقطع فعال الکتروشیمیایی^۲ (EAS)

سطح مقطع فعال الکتروشیمیایی عامل مهمی در ارزیابی فعالیت کاتالیزوری کاتالیست‌های تهیه شده می‌باشد. سطح مقطع فعال الکتروشیمیایی می‌تواند با اندازه‌گیری بارهای حاصل از جذب و واجدب هیدروژن در منحنی‌های ولتاوتری چرخه‌ای در محیط سولفوریک اسید M ۰,۵ و با استفاده از معادله زیر بدست آید [۲۴]:

$$\text{EAS} = \frac{Q_H}{0.21 \times [\text{Pt}]} \quad (1)$$

Q_H بار کولمبی برای جذب و واجدب هیدروژن است، ۰,۲۱ mC cm^{-۲} مربوط به جذب تکلایه هیدروژن در سطح نانوذرات پلاتین می‌باشد و [Pt]، مقدار پلاتین بارگذاری شده در سطح الکترود کربن شیشه‌ای است [۲۵] و مقدار آن برای کاتالیست‌های تهیه شده ۰,۰۴۱ mg cm^{-۲} است. منحنی‌های

الگوی پراش اشعه ایکس گرافن اکسید ستز شده را با پیک پراشی در $\theta = 11^\circ$ = ۰۲ نشان می‌دهد. الگوی پراش اشعه ایکس کاتالیست استرانسیم کالت اکسید به خوبی در شکل ۱b نشان داده می‌شود [۲۳]. همان‌طور که مشاهده می‌شود، پیک‌ها بسیار تیز هستند که نشان‌دهنده بلورینگی بالای کاتالیست استرانسیم کالت اکسید می‌باشد. الگوهای استرانسیم کالت اکسید، پیک‌های پراش مشخصه مربوط به صفحات (۱۰۱)، (۱۱۰)، (۲۰۱)، (۳۰۰)، (۳۱۱) و (۳۲۰) را به ترتیب در ۲۸,۶، ۳۲,۶، ۴۳,۹، ۵۵,۷، ۵۸,۴، ۶۸,۴ و ۷۵,۵ نشان می‌دهند که بیانگر ساختار هگزاگونال نمونه استرانسیم کالت اکسید است. هم‌چنین، پارامترهای شبکه $a = ۵,۴۸۵ \text{ \AA}$ و $b = ۵,۴۸۵ \text{ \AA}$ و $c = ۴,۱۳۷ \text{ \AA}$ می‌باشند.



شکل ۱. الگوهای پراش اشعه ایکس گرافن اکسید و استرانسیم کالت اکسید.

اندازه ذرات و چگونگی پراکندگی ذرات نانوکامپوزیت‌های Pt-SrCoO_{3-δ}-RGO با استفاده از تصاویر میکروسکوپ الکترونی عبوری^۱ (TEM) مورد بررسی قرار گرفت (شکل ۲).

تصویر TEM نانوکامپوزیت Pt-RGO در شکل ۲a نشان داده می‌شود. اندازه نانوذرات پلاتین در محدوده سه تا هفت نانومتر قرار دارد. تصویر TEM نانوکامپوزیت-SrCoO_{3-δ}-RGO در شکل ۲b نشان داده می‌شود. متوسط اندازه نانوذرات پلاتین حدود پنج نانومتر و نانوذرات استرانسیم کالت اکسید در محدوده ۲۰ تا ۳۰ نانومتر است. همان‌طور که مشاهده می-

² Electrochemically active surface area

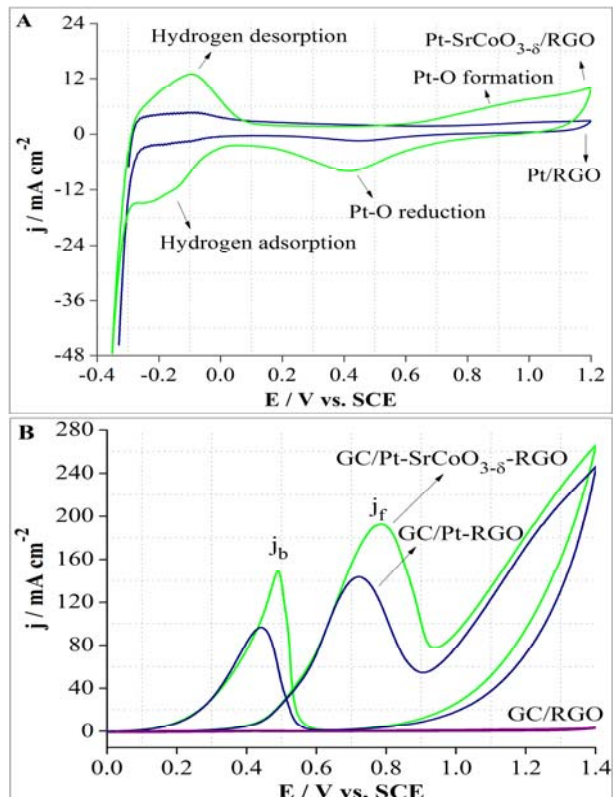
¹ Transmission electron microscopy

متانول 1.76 M و سولفوریک اسید 0.5 M و سرعت روش 100 mV s^{-1} ثبت شدند (شکل ۳B). همان‌طور که مشاهده می‌شود، هیچ پیکی برای اکسایش متانول در الکترود GC/RGO مشاهده نشد که نشان می‌دهد این الکترود هیچ فعالیت کاتالیزوری برای واکنش اکسایش متانول ندارد. ولتاوموگرام‌های الکترودهای GC/Pt-RGO و GC/Pt-SrCoO_{3-δ}-RGO دو پیک اکسایشی را برای اکسایش متانول نشان می‌دهند. اولین پیک آندی در روش رفت مشاهده می‌گردد (j_f) که به الکتروکسیداسیون متانول نسبت داده می‌شود. دومین پیک اکسایشی در روش برگشت (j_b) مشاهده می‌گردد که مربوط به اکسایش حدواسطهای تولید شده در طول الکتروکسیداسیون متانول می‌باشد [۲۷]. برای GC/Pt-RGO، اولین پیک اکسایشی اکسایش متانول در روش رفت حدود 0.686 V مشاهده شد، درحالی‌که دومین پیک اکسایش متانول در روش برگشت حدود 0.461 V (E_b) مشاهده گردید. همان‌طور که در شکل ۳B نشان داده می‌شود، الکترود GC/Pt-SrCoO_{3-δ}-RGO چگالی جریان بالاتری را نسبت به GC/Pt-RGO برای الکتروکسیداسیون متانول دارد که نشان می‌دهد این کاتالیست در مقایسه با Pt-RGO، فعالیت الکتروکاتالیزوری بهتری برای اکسایش متانول دارد [۲۸]. پتانسیل آستانه اکسایش متانول در الکترود GC/Pt-SrCoO_{3-δ}-RGO 0.297 V منفی‌تر از پتانسیل آستانه GC/Pt-RGO 0.320 V است که نشان دهنده فعالیت کاتالیزوری بهبود یافته الکترود GC/Pt-SrCoO_{3-δ}-RGO برای اکسایش متانول می‌باشد. بعلاوه، این امر نشان می‌دهد که الکتروکسیداسیون متانول در الکترود GC/Pt-SrCoO_{3-δ}-RGO آسان‌تر از الکترود GC/Pt-RGO است [۲۹ و ۳۰]. داده‌های الکتروشیمی اکسایش متانول در سطح دو کاتالیست تهیه شده در جدول ۱ نشان داده می‌شود.

جدول ۱. داده‌های الکتروشیمی اکسایش متانول در کاتالیست‌های تهیه شده در محلول متانول 1.76 M و سولفوریک اسید 0.5 M

catalyst	Onset potential (V)	E_{fl} (V)	j_{fl} (mA cm^{-2})	E_b (V)	j_b (mA cm^{-2})
Pt-RGO	0.320	0.686	$140,594$	0.461	$92,408$
Pt-SrCoO _{3-δ} -RGO	0.297	0.776	$191,949$	0.488	$148,457$

ولتاومتری چرخه‌ای کاتالیست‌های Pt-RGO و Pt-SrCoO_{3-δ}-RGO در سولفوریک اسید 0.5 M در شکل ۳A نشان داده می‌شود. همان‌طور که مشاهده می‌شود در دو کاتالیست تهیه شده، جذب و واجذب هیدروژن در محدوده $0.05\text{--}0.25\text{ V}$ ولت صورت می‌پذیرد. علاوه بر این، تشکیل پلاتین اکسید (در پتانسیل‌های بیشتر از 0.5 V) و کاهش پلاتین اکسید (در پتانسیل حدود 0.4 V) به ترتیب در روش رفت و برگشت صورت می‌پذیرد [۲۶]. با مقادیر یکسان بارگذاری پلاتین، مقدار سطح مقطع فعال الکتروشیمیایی برای کاتالیست Pt-SrCoO_{3-δ}-RGO $74\text{ m}^2\text{ g}^{-1}$ ، SrCoO_{3-δ}-RGO $21.8\text{ m}^2\text{ g}^{-1}$ برای Pt-RGO، می‌باشد و نشان می‌دهد کاتالیست Pt-SrCoO_{3-δ}-RGO مکان‌های فعال بیشتری برای اکسایش متانول در مقایسه با کاتالیست Pt-RGO دارد.

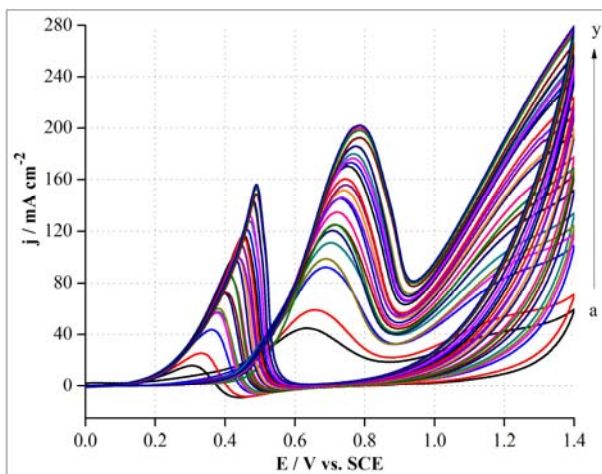


شکل ۳. (A) ولتاوموگرام‌های چرخه‌ای کاتالیست‌های تهیه شده در محلول سولفوریک اسید 0.5 M (B) ولتاوموگرام‌های چرخه‌ای الکترودهای تهیه شده برای الکتروکسیداسیون متانول در محلول متانول 1.76 M و سولفوریک اسید 0.5 M .

۲-۲-۳ الکتروکسیداسیون متانول

خصوصیات الکتروشیمیایی الکترود کار اصلاح شده با نانوکاتالیست Pt-RGO (GC/Pt-RGO) و Pt-SrCoO_{3-δ}-RGO (GC/Pt-SrCoO_{3-δ}-RGO) برای اکسایش متانول بررسی شد. ولتاوموگرام چرخه‌ای الکترودهای اصلاح شده در محلول آبی

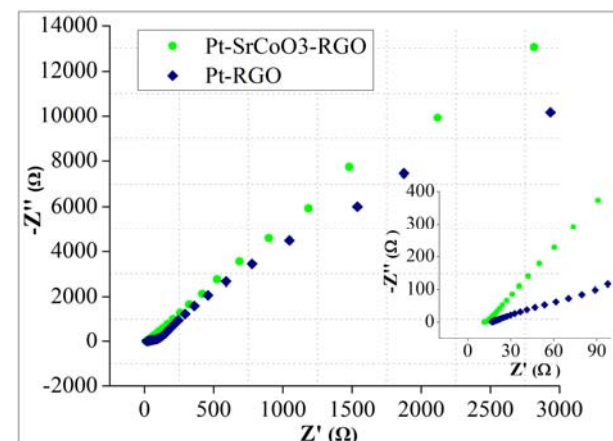
اثر غلظت متانول بر فعالیت الکتروکاتالیزوری کاتالیست $\text{Pt-SrCoO}_{3-\delta}\text{-RGO}$ در شکل ۵ مطالعه می‌شود. همان‌طور که مشاهده می‌شود با افزایش غلظت متانول، چگالی جریان پیک آندی اکسایش متانول افزایش می‌یابد. با افزایش غلظت متانول mA cm^{-2} از $M_{0.08}$ تا $M_{1.76}$ ، چگالی جریان پیک آندی از 43.34 mA cm^{-2} تا $187.23 \text{ mA cm}^{-2}$ افزایش می‌یابد. در غلظت‌های متانول بالاتر از $M_{1.76}$ ، تغییر محسوسی در چگالی جریان آندی مشاهده نمی‌شود که این امر شاید به دلیل اشباع شدن مکان‌های فعال در سطح نانوذرات پلاتین برای اکسایش متانول می‌باشد [۳۳]. هم‌چنین با افزایش غلظت متانول از $M_{0.08}$ تا $M_{1.76}$ ، پتانسیل پیک آندی اکسایش متانول در سطح کاتالیست $\text{Pt-SrCoO}_{3-\delta}\text{-RGO}$ از 0.605 V ولت به 0.754 V افزایش می‌یابد. دلیل جابجایی پتانسیل به سمت پتانسیل‌های مثبت، افزایش مسمومیت سطح کاتالیست پلاتین با افزایش غلظت متانول می‌باشد [۳۳].



شکل ۵. منحنی‌های ولتاویری چرخه‌ای برای اکسایش متانول در سطح کاتالیست $\text{Pt-SrCoO}_{3-\delta}\text{-RGO}$ در محلول سولفوریک اسید $M_{0.5}$ و غلظت‌های گوناگون متانول: (a) $M_{0.08}$, (b) $M_{0.16}$, (c) $M_{0.24}$, (d) $M_{0.32}$, (e) $M_{0.41}$, (f) $M_{0.50}$, (g) $M_{0.56}$, (h) $M_{0.64}$, (i) $M_{0.72}$, (j) $M_{0.79}$, (k) $M_{0.87}$, (l) $M_{0.95}$, (m) $M_{1.03}$, (n) $M_{1.11}$, (o) $M_{1.18}$, (p) $M_{1.25}$, (q) $M_{1.32}$, (r) $M_{1.39}$, (t) $M_{1.54}$, (u) $M_{1.62}$, (v) $M_{1.69}$, (w) $M_{1.76}$.

فعالیت الکتروکاتالیزوری کاتالیست $\text{Pt-SrCoO}_{3-\delta}\text{-RGO}$ برای الکتروکسیداسیون متانول در دماهای گوناگون از 20 تا 50°C در سرعت روبش 100 mV s^{-1} مطالعه شد (شکل A). همان‌طور که مشاهده می‌شود، با افزایش دما، چگالی جریان پیک آندی افزایش می‌یابد. این امر نشان می‌دهد که در دمای بالاتر، ساختار کاتالیست $\text{Pt-SrCoO}_{3-\delta}\text{-RGO}$ مکان‌های فعال

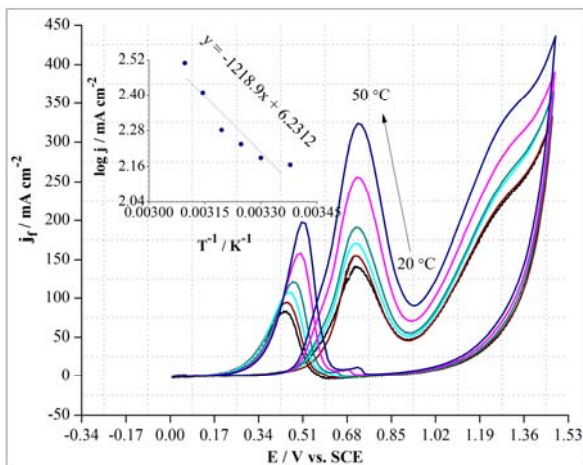
۳-۳ طیف‌سنجدی امپدانس الکتروشیمیایی (EIS) مطالعات طیف‌سنجدی امپدانس الکتروشیمیایی برای بررسی رفتار کاتالیست‌های $\text{Pt-SrCoO}_{3-\delta}\text{-RGO}$ و Pt در الکتروکسیداسیون متانول انجام شدند. رفتار الکتروشیمیایی کاتالیست‌ها برای اکسایش متانول با منحنی‌های نایکوئیست بررسی شد که در شکل ۶ نشان داده می‌شود [۳۱]. مطالعه امپدانس الکتروشیمیایی در محدوده 1×10^4 تا 10^{-2} هرتز در پتانسیل مدار باز در محلول سولفوریک اسید $M_{0.5}$ و متانول $M_{1.76}$ صورت پذیرفت. در منحنی‌های نایکوئیست کاتالیست‌های تهیه شده یک نیم‌دایره بسیار کوچک در ناحیه فرکانس بالا وجود دارد که مربوط به فرآیند انتقال بار در سطح مشترک الکترولیت و الکترود است و یک خط در ناحیه فرکانس پایین وجود دارد که به فرآیند نفوذ در الکترودهای تهیه شده داده می‌شود. همان‌طور که در شکل ۶ مشاهده می‌گردد، کاتالیست $\text{Pt-SrCoO}_{3-\delta}\text{-RGO}$ قطر نیم‌دایره کوچک-تر و خط مستقیم عمودی تری نسبت به کاتالیست Pt-RGO دارد که نشان می‌دهد کاتالیست $\text{Pt-SrCoO}_{3-\delta}\text{-RGO}$ سیستمیک سریع‌تری برای فرآیند نفوذ یونی و واکنش انتقال بار سریع‌تری برای واکنش اکسایش متانول دارد [۳۲].



شکل ۶. منحنی‌های نایکوئیست کاتالیست‌های تهیه شده در محلول متانول $M_{1.76}$ و سولفوریک اسید $M_{0.5}$.

۴-۳ عوامل موثر بر اکسایش متانول عوامل متعددی از جمله غلظت متانول، دما و سرعت روبش بر فعالیت کاتالیزوری کاتالیست $\text{Pt-SrCoO}_{3-\delta}\text{-RGO}$ در الکتروکسیداسیون متانول تاثیر می‌گذارند. از این‌رو، این عوامل بررسی شدند.

اثر دما بر فعالیت کاتالیزوری کاتالیست Pt-RGO نیز در دههای ۲۰ تا ۵۰ °C بررسی گردید و در شکل ۷ نشان داده می‌شود. همان‌طور که مشاهده می‌گردد با افزایش دما، چگالی جریان پیک آندی اکسایش متانول افزایش می‌یابد. انرژی فعال‌سازی پیک آندی اکسایش متانول نیز مطابق با رابطه آرنیوس محاسبه گردید و مقدار آن $10,133 \text{ kJ mol}^{-1}$ به دست آمد. همان‌طور که مشاهده می‌شود پیک آندی اکسایش متانول در سطح کاتالیست Pt-SrCoO_{3-δ}-RGO انرژی فعال‌سازی کمتری نسبت به کاتالیست Pt-RGO دارد بنابراین اکسایش متانول در کاتالیست Pt-SrCoO_{3-δ}-RGO آسان‌تر صورت می‌گیرد.



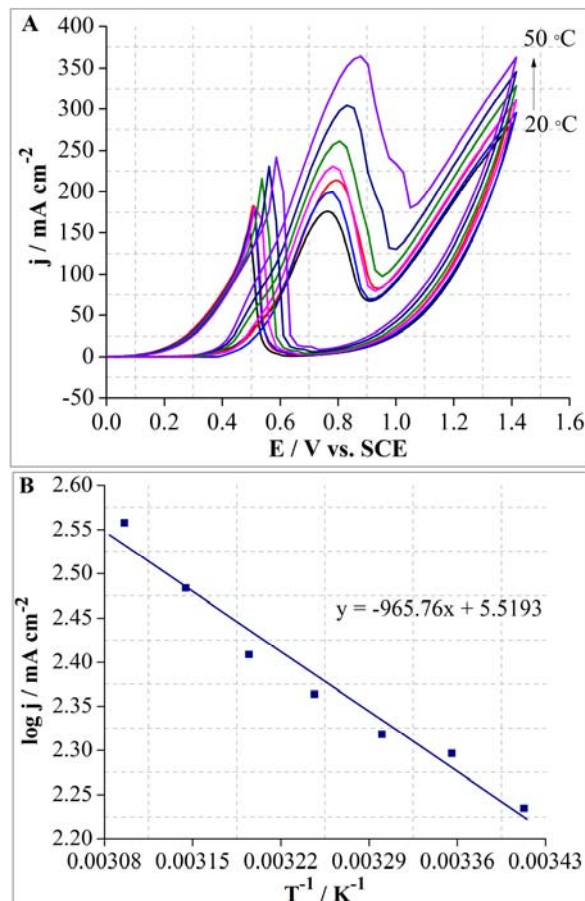
شکل ۷. منحنی‌های ولتاویری چرخه‌ای Pt-RGO در دههای ۲۰، ۲۵، ۳۰، ۳۵، ۴۰، ۴۵ و ۵۰ °C در محلول سولفوریک اسید M ۰,۵ و متانول M ۱,۷۶ منحنی آرنیوس $\log j$ بر حسب T^{-1} نیز نشان داده شده است.

فعالیت الکتروکاتالیزوری کاتالیست Pt-SrCoO_{3-δ}-RGO
برای الکتروکاسیداسیون متانول در سرعت‌های روبش گوناگون ۳۰، ۳۵، ۴۰، ۴۵، ۵۰، ۶۰، ۷۰، ۱۰۰، ۱۳۰ و ۱۶۰ mV s⁻¹ در محلول سولفوریک اسید M ۰,۵ و متانول M ۱,۷۶ بروزی شد (شکل ۸). همان‌طور که در شکل ۸ مشاهده می‌شود، چگالی جریان پیک آندی اکسایش متانول با افزایش سرعت روبش، افزایش می‌یابد. هم‌چنین ارتباط خطی بین جذر سرعت روبش ($v^{0.5}$) و چگالی جریان آندی (j) وجود دارد که نشان می‌دهد واکنش اکسایش متانول با نفوذ متانول از محلول به سطح الکترود کار اصلاح شده کنترل می‌شود [۳۵].

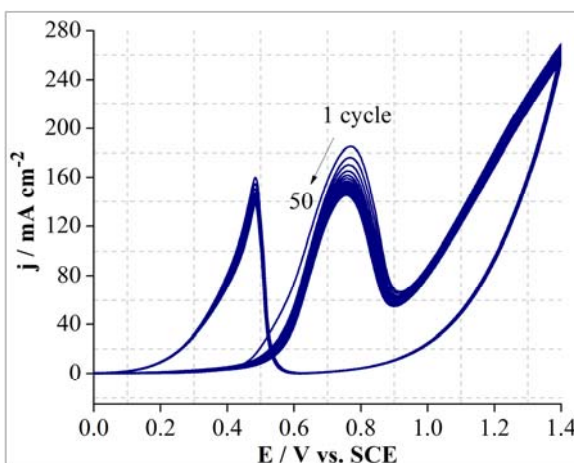
در دسترس بیشتری برای مشارکت در واکنش اکسایش متانول وجود دارد [۳۴]. با افزایش دما از ۲۰ تا ۵۰ °C، چگالی جریان آندی اکسایش متانول در کاتالیست Pt-SrCoO_{3-δ}-RGO از ۱۷۱,۶۶ mA cm⁻² تا ۳۶۱,۱۹ mA cm⁻² افزایش می‌یابد. انرژی فعال‌سازی پیک آندی اکسایش متانول در کاتالیست Pt-SrCoO_{3-δ}-RGO نیز محاسبه شد. منحنی آرنیوس لگاریتم چگالی جریان پیک آندی (j) بر حسب T^{-1} در کاتالیست Pt-SrCoO_{3-δ}-RGO در شکل ۶B نشان داده می‌شود. انرژی فعال‌سازی با استفاده از معادله زیر محاسبه گردید:

$$\frac{\partial \ln j}{\partial \left(\frac{1}{T} \right)} = \frac{\Delta H^*}{R} \quad (2)$$

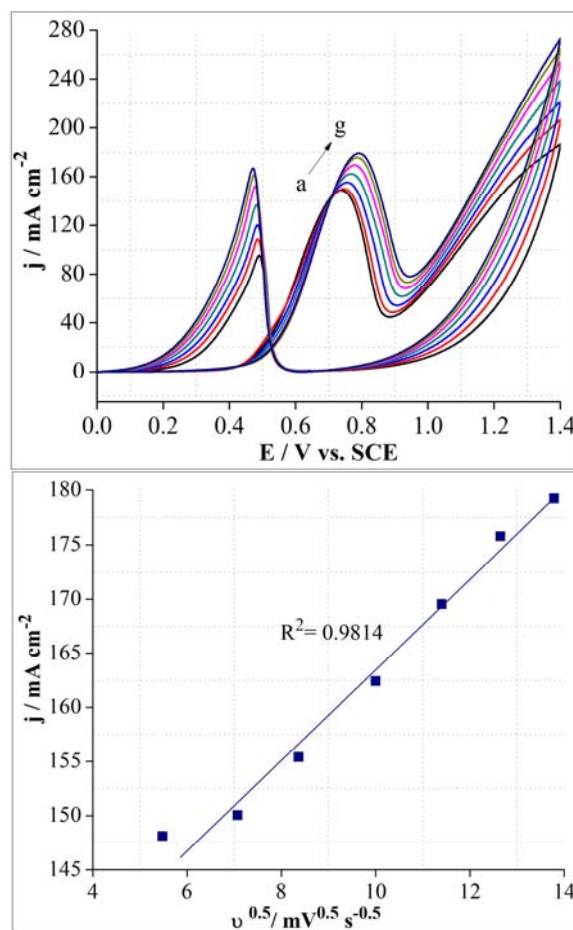
در این معادله، ΔH^* انرژی فعال‌سازی، R ثابت گازها، j جریان پیک آندی و T دما است. انرژی فعال‌سازی پیک آندی اکسایش متانول در $Pt-SrCoO_{3-\delta}-RGO$ در $8,029 \text{ kJ mol}^{-1}$ محاسبه گردید.



شکل ۶. (A) منحنی‌های ولتاویری چرخه‌ای کاتالیست Pt-SrCoO_{3-δ}-RGO در دههای ۲۰، ۲۵، ۳۰، ۳۵، ۴۰، ۴۵ و ۵۰ °C در محلول سولفوریک اسید M ۰,۵ و متانول M ۱,۷۶. (B) منحنی آرنیوس $\log j$ بر حسب T^{-1} .



شکل ۹. منحنی های ولتاویری چرخه ای کاتالیست $\text{Pt-SrCoO}_{3-\delta}\text{-RGO}$ در طول ۵۰ چرخه در محلول سولفوریک اسید 0.5 M و متانول 1.76 M .



شکل ۸. منحنی های ولتاویری چرخه ای کاتالیست $\text{Pt-SrCoO}_{3-\delta}\text{-RGO}$ در محلول سولفوریک اسید 0.5 M و متانول 1.76 M در سرعت های روش گوناگون $30, 50, 70, 100, 130, 160, 190\text{ mV s}^{-1}$. چگالی جریان پیک آندی اکسایش متانول بر حسب جذر سرعت روشن نیز نشان داده می شود.

در این مطالعه، نانوکاتالیست $\text{Pt-SrCoO}_{3-\delta}\text{-RGO}$ به طور موفقیت آمیزی تهیه و شناسایی شد. فعالیت الکتروکاتالیزوری کاتالیست تهیه شده برای الکترواکسیداسیون متانول بررسی شد و با فعالیت کاتالیزوری کاتالیست Pt-RGO مقایسه گردید. نتایج نشان دادند که استفاده از نانوذرات استرانسیم کبالت اکسید به همراه نانوذرات پلاتین به طور چشم گیری عملکرد نانوذرات پلاتین را برای اکسایش متانول افزایش می دهد. با توجه به سطح مقطع فعال الکتروشیمیابی و چگالی جریان پیک آندی، کاتالیست $\text{Pt-SrCoO}_{3-\delta}\text{-RGO}$ فعالیت کاتالیزوری بسیار بالاتری را نسبت به Pt-RGO برای اکسایش متانول از خود نشان داد. بررسی های انجام شده نشان دادند که $\text{Pt-SrCoO}_{3-\delta}\text{-RGO}$ ، کاتالیستی نویده بخش برای الکترواکسایش متانول جهت کاربرد در پیلهای سوختی متانولی مستقیم می باشد.

سپاسگزاری

از مجتمع آموزش عالی فنی و مهندسی اسفراین که انجام این پژوهش را حمایت مالی نموده اند، سپاسگزاری می شود.

مراجع

- Noroozifar, M., Khorasani-Motlagh, M., Khaleghian-Moghadam, R., Ekrami-Kakhki, M.S., Shahroki, M., Incorporation Effect of Nanosized Perovskite $\text{LaFe}0.7\text{Co}0.3\text{O}_3$ on the Electrochemical Activity of Pt Nanoparticles-Multi Walled Carbon Nanotube Composite toward Methanol Oxidation, *Journal of Solid State Chemistry*, 2013, 201, 41-47.

اثر مسموم شوندگی کاتالیست $\text{Pt-SrCoO}_{3-\delta}\text{-RGO}$ در طول الکترواکسایش متانول از طریق روش ولتاویری چرخه ای با روشن ۵۰ چرخه متوالی بررسی شد (شکل ۹). در الکترود $\text{Pt-SrCoO}_{3-\delta}\text{-RGO}$ در اولین چرخه روشن، چگالی جریان پیک آندی $185, 19\text{ mA cm}^{-2}$ بود و در حالی که پس از روشن ۵۰ چرخه متوالی مقدار آن به $145, 33\text{ mA cm}^{-2}$ رسید. با توجه به اینکه کاهش چشم گیری در مقدار چگالی جریان پیک آندی پس از ۵۰ چرخه صورت نگرفته است، کاتالیست $\text{Pt-SrCoO}_{3-\delta}\text{-RGO}$ ، پایداری و ماندگاری خوبی برای اکسایش متانول دارد [۳۶ و ۳۷].

- Taiwan Institute of Chemical Engineers, 2017, 80, 231-238.
16. Konopka, D.A., Li, M., Artyushkova, K., Marinkovic, N., Sasaki, K., Adzic, R., Ward, T. L., Atanassov, P., Platinum Supported on NbRuO₂ as Electrocatalyst for Ethanol Oxidation in Acid and Alkaline Fuel Cells, *The Journal of Physical Chemistry C*, 2011, 115 (7), 3043-3056.
 17. Fang, B., Kim, M., Yu, J.S., Hollow Core/Mesoporous Shell Carbon as a Highly Efficient Catalyst Support in Direct Formic Acid Fuel Cell, *Applied Catalysis B: Environmental*, 2008, 84 (1-2), 100-105.
 18. Li, X., Wang, H.J., Yua, H., Liu, Z.W., Peng, F., An Opposite Change Rule in Carbon Nanotubes Supported Platinum Catalyst for Methanol Oxidation and Oxygen Reduction Reactions, *Journal of Power Sources*, 2014, 260, 1-5.
 19. Lobato, J., Canizares, P., Ubeda, D., Pinar, F.J., Rodrigo, M.A., Testing PtRu/CNF Catalysts for a High Temperature Polybenzimidazole-Based Direct Ethanol Fuel Cell. Effect of Metal Content, *Applied Catalysis B: Environmental*, 2011, 106 (1-2), 174-180.
 20. Yang, H., Li, F., Shan, C., Han, D., Zhang, Q., Niu, L., Ivaska, A., Covalent Functionalization of Chemically Converted Graphene Sheets via Silane and Its Reinforcement, *Journal of Materials Chemistry*, 2009, 19, 4632-4638.
 21. Kakaei, K., One-Pot Electrochemical Synthesis of Graphene by the Exfoliation of Graphite Powder in Sodium Dodecyl Sulfate and Its Decoration with Platinum Nanoparticles for Methanol Oxidation, *Carbon*, 2013, 51, 195-201.
 22. Chen, J., Yao, B., Li, C., Shi, G., An Improved Hummers Method for Eco-Friendly Synthesis of Graphene Oxide, *Carbon*, 2013, 64, 225-229.
 23. Zeng, P., Ran, R., Chen, Z., Zhou, W., Gu, H., Shao, Z., Liu, S., Efficient Stabilization of Cubic Perovskite SrCoO_{3-δ} by B-Site Low Concentration Scandium Doping Combined with Sol-gel Synthesis, *Journal of Alloys and Compounds*, 2008, 455 (1-2), 465-470.
 24. Kakaei, K., Rahimi, A., Husseindoost, S., Hamidi, M., Javan, H., Balavandi, A., Fabrication of Pt-CeO₂ Nanoparticles Supported Sulfonated Reduced Graphene Oxide as an Efficient Electrocatalyst for Ethanol Oxidation, *International Journal of Hydrogen Energy*, 2016, 41 (6), 3861-3869.
 25. Zhang, X., Zhang, B., Liu, D., Qiao, J., One-Pot Synthesis of Ternary Alloy CuFePt Nanoparticles Anchored on Reduced Graphene Oxide and Their Enhanced Electrocatalytic Activity for Both Methanol and Formic Acid Oxidation Reactions, *Electrochimica Acta*, 2015, 177, 93-99.
 26. Shafaei Douk, A., Saravani, H., Noroozifar, M., One-Pot Synthesis of Ultrasmall Pt-Ag Nanoparticles Decorated on Graphene as a High-Performance Catalyst toward Methanol Oxidation, *International Journal of Hydrogen Energy*, 2018, 43 (16), 7946-7955.
 27. Ekrami-Kakhki, M.S., Khorasani-Motlagh, M., Noroozifar, M., Electrochemical Investigation of Pd Nanoparticles and MWCNTs Supported Pd Nanoparticles-Coated Electrodes for Alcohols (C1-C3) Oxidation in Fuel Cells, *Journal of Applied Electrochemistry*, 2014, 44 (2), 233-243.
 28. Wang, Y., Yang, J., Sun, S., Wang, L., Guo, T., Zhang, D., Xue, Z., Zhou, X., PtNi Nanoparticles Supported on Electrochemically Reduced Porous Graphene Oxide for Methanol Oxidation Reaction, *Chemical Physics Letters*, 2019, 730, 575-581.
 29. Seger, B., Kamat, P.V., Electrocatalytically Active Graphene-Platinum Nanocomposites. Role of 2-D
 2. Kakaei, K., Decoration of Graphene Oxide with Platinum Tin Nanoparticles for Ethanol Oxidation, *Electrochimica Acta*, 2015, 165, 330-337.
 3. Shi, H., Wang, R., Lou, M., Jia, D., Guo, Y., Wang, X., Huang, Y., Sun, Z., Wang, T., Wang, L., A Novel Pt/Pyridine Ionic liquid Polyoxometalate/rGO Tri-Component Hybrid and Its Enhanced Activities for Methanol Electrooxidation, *Electrochimica Acta*, 2019, 294, 93-101.
 4. Ekrami-Kakhki, M.S., Farzaneh, N., Abbasi, S., Makiabadi, B., Electrocatalytic Activity of Pt Nanoparticles Supported on Novel Functionalized Reduced Graphene Oxide-Chitosan for Methanol Electrooxidation, *Journal of Materials Science: Materials in Electronics*, 2017, 28 (17), 12373-12382.
 5. Wang, Z., Zhang, F., Zou, H., Yuan, Y., Wang, H., Xia, J., Wang, Z., Preparation of a Pt/NiFe Layered Double Hydroxide/Reduced Graphene Oxide Composite as an Electrocatalyst for Methanol Oxidation, *Journal of Electroanalytical Chemistry*, 2018, 818 (1), 198-203.
 6. Vilian, A.T.E., Hwang, S.K., Kwak, C.H., Oh, S.Y., Kim, C.Y., Lee, G.W., Lee, J.B., Huh, Y.S., Han, Y.K., Pt-Au Bimetallic Nanoparticles Decorated on Reduced Graphene Oxide as an Excellent Electrocatalysts for Methanol Oxidation, *Synthetic Metals*, 2016, 219, 52-59.
 7. Noroozifar, M., Khorasani-Motlagh, M., Ekrami-Kakhki, M.S., Khaleghian-Moghadam, R., Enhanced Electrocatalytic Properties of Pt-Chitosan Nanocomposite for Direct Methanol Fuel Cell by LaFeO₃ and Carbon Nanotube, *Journal of Power Sources*, 2014, 248, 130-139.
 8. Ekrami-Kakhki, M.S., Yavari, Z., Saffari, J., Abbasi, S., Fabrication and Evaluation of Pt/M (M= Co, Fe) Chitosan Supported Catalysts for Methanol Electrooxidation: Application in Direct Alcohol Fuel Cell, *Journal of Nanostructures*, 2016, 6 (3), 221-234.
 9. Zhang, H.X., Okawa, Y., Kato, M., Sasaki, Y., Uosaki, K., Construction of Pt-Ni Nanocomposites from Pt-Ni Multinuclear Complexes on Gold (111) Surface and Their Electrocatalytic Activity for Methanol Oxidation, *Journal of Electroanalytical Chemistry*, 2016, 781, 41-47.
 10. Rivera Gavidia, L.M., García, G., Celorio, V., Lázaro, M.J., Pastor, E., Methanol Tolerant Pt₂CrCo Catalysts Supported on Ordered Mesoporous Carbon for the Cathode of DMFC, *International Journal of Hydrogen Energy*, 2016, 41 (43), 19645-19655.
 11. Wang, H., Sheng, L., Zhao, X., An, K., Ou, Z., Fang, Y., One-Step Synthesis of Pt-Pd Catalyst Nanoparticles Supported on Few-Layer Graphene for Methanol Oxidation, *Current Applied Physics*, 2018, 18 (8), 898-904.
 12. Zaidi, S.J., Bello, M., Al-Ahmed, A., Yousaf A.B., Imran, M., Mesoporous Carbon Supported Pt/MO₂ (M = Ce, Pr, Nd, Sm) Heteronanostructure: Promising Non-Ru Methanol Oxidation Reaction Catalysts for Direct Methanol Fuel Cell Application, *Journal of Electroanalytical Chemistry*, 2017, 794, 86-92.
 13. Tedsree, K., Thanatsiri, A., Comparative Study on the Catalytic Activity Between Pt-Decorated Ru and Ru-Decorated Pt Core-Shell Nanocatalyst toward Methanol Electro-oxidation, *Materials Today: Proceedings*, 2018, 5 (5), 10954-10963.
 14. Lan, A., Mukasyan, A.S., Perovskite-Based Catalysts for Direct Methanol Fuel Cells, *The Journal of Physical Chemistry C*, 2007, 111 (26), 9573-9582.
 15. Jiayue, H., Mingjuan, S., Xiaoyan, C., Chunyang, Z., Junying, Z., Mingshan, Z., Two Dimensional Perovskite La₂Ti₂O₇ Nanosheet as Pt Catalyst Support for Photo-Assisted Methanol Oxidation Reaction, *Journal of the*

- Carbon Support in PEM Fuel Cells, *The Journal of Physical Chemistry C*, 2009, 113 (19), 7990–7995.
30. Liu, H., Yang, D., Bao, Y., Yu, X., Feng, L., One-Step Efficiently Coupling Ultrafine Pt–Ni₂P Nanoparticles as Robust Catalysts for Methanol and Ethanol Electro-Oxidation in Fuel Cells Reaction, *Journal of Power Sources*, 2019, 434, 226754-226762.
31. Ding, K., Jia, Z., Wang, Q., He, X., Tian, N., Tong, R., Wang, X., Electrochemical Behavior of the Self-Assembled Membrane Formed by Calmodulin (CaM) on a Au Substrate, *Journal of Electroanalytical Chemistry*, 2001, 513 (1), 67-71.
32. Hao, M., Liu, X., Feng, M., Zhang, P., Wang, G., Generating Power from Cellulose in an Alkaline Fuel Cell Enhanced by Methyl Viologen as an Electron-Transfer Catalyst, *Journal of Power Sources*, 2014, 251, 222-228.
33. Zhang, K., Chen, X., Wang, L., Zhang, D., Xue, Z., Zhou, X., Lu, X., Pt-Pd Nanoparticles Supported on Sulfonated Nitrogen Sulfur co-Doped Graphene for Methanol Electro-Oxidation, *International Journal of Hydrogen Energy*, 2018, 43 (33), 15931-15940.
34. Eshghi, A., kheirmand, M., Sabzeheimeiani, M.M., Platinum-Iron Nanoparticles Supported on Reduced Graphene Oxide as an Improved Catalyst for Methanol Electrooxidation, *International Journal of Hydrogen Energy*, 2018, 43 (12), 6107-6116.
35. Zhao, Y., Wang, R., Han, Z., Li, C., Wang, Y., Chi, B., Li, J., Wang, X., Electrooxidation of Methanol and Ethanol in Acidic Medium Using a Platinum Electrode Modified with Lanthanum-Doped Tantalum Oxide Film, *Electrochim Acta*, 2015, 151, 544-551.
36. Ekrami-Kakhki, M.S., Naeimi, A., Donyagard, F., Pt Nanoparticles Supported on a Novel Electrospun Polyvinyl Alcohol-CuO-Co₃O₄/Chitosan Based on Sesbania Sesban Plant as an Electrocatalyst for Direct Methanol Fuel Cells, *International Journal of Hydrogen Energy*, 2019, 44, 1671-1685.
37. Zhang, X., Zhang, B., Liu, D., Qiao, J., One-Pot Synthesis of Ternary Alloy CuFePt Nanoparticles Anchored on Reduced Graphene Oxide and Their Enhanced Electrocatalytic Activity for Both Methanol and Formic Acid Oxidation Reactions, *Electrochimica Acta*, 2015, 177, 93-99.